

# 地震荷重を対象としたコンクリートの動的圧縮変形並に破壊

電力中央研究所

畠野 五

ダムの如きコンクリート構造物の耐震性を論議する場合、コンクリートの動的挙動を明にすることが基本的な必要條件である。従来の耐震理論はダムに周して剛体として取扱ひ、單純モーパネと等しい弾性体としての取扱い、更に Kelvin 模型による取扱いに進んでゐるが、コンクリートの素性としての弾性や粘性の本質、動的破壊の状況等は明にして、更に前述とはかかる必要がある。この意味の一歩としてコンクリート供試体の動的圧縮破壊試験を実施した。

回転速度を  $300 \text{ r/min.} \sim 15 \text{ r/min.}$  に変化する fly wheel を用い、油圧ポンプを稼動して、wheel の一回転の間に油を  $100 \text{ ton}$  耐圧試験体の ram に送り込み、動的圧縮を  $10 \text{ cm}$  従  $20 \text{ cm}$  長の供試体に加えた。供試体の下部に非接着型抵抗線歪ゲージを利用して  $100 \text{ ton}$  壓力計と共に圧力を記録し、供試体の上下の圧力板は、円型にした焼青銅の薄板に接着型抵抗線歪ゲージとねじ式歪計を直徑 2 方向に 4 個固定して変形と圧力と同時に記録するようにした。

地震周期として  $0.1 \text{ sec} \sim 4 \text{ sec}$  を考える、 $\frac{1}{4}$  地震の内に破壊するものとして  $0.3 \text{ sec} \sim 1 \text{ sec}$  の時間で破壊することを目標とした。更にこれらの値を比較する規準として通常の速度(約  $100 \text{ sec}$  で破壊する)と目標と(た)の圧縮試験と同様の方法を行つた。

供試体の種類は次表の如く、各種と夫々約 2 個試験した。

Test No.	種類	配合	W/C	材令
1	コンクリート	1 : 2 : 4	37%	4Ws
2	"	1 : 2 : 4	42%	"
3	"	1 : 3 : 5	50%	"
4	"	1 : 4 : 7	57%	"
5	"	1 : 4 : 7	65%	"
6	"	1 : 2 : 4	42%	13Ws
7	"	1 : 3 : 5	45%	"
8	"	1 : 3 : 5	50%	"
9	"	1 : 4 : 7	57%	"
10	"	1 : 4 : 7	65%	"
11	モルタル	1 : 3	50%	4Ws
12	"	1 : 4	60%	"
13	"	1 : 3	50%	13Ws
14	"	1 : 4	60%	"

これらの実験結果の主要な知見は次の如くである。

1. 荷重から増大して破壊に到るまでの時間中の log 値と破壊強度  $\sigma_u$  の関係は  $t = 0.03 \text{ sec} \sim 100 \text{ sec}$  の間に於て殆ど直線的である。(地震波動に対する初期の荷重では、荷重が一定で破壊することなく最初の荷重は小さく次第に増大して一旦一定となり、破壊強度が再び増大する。従つて強度の変化は  $t = 0.03 \text{ sec}$  破壊に到るまでの時間中の地震週期との関連に於て表現する。)  $\sigma_u$  の大きさは  $100 \text{ sec}$  破壊を 1 とするれば、 $1 \text{ sec}$  破壊は  $1.17 \sim 1.30$ 、 $0.03 \text{ sec}$  破壊は  $1.30 \sim 1.56$  となり增加率は食配合程大きい。又材令  $4 \text{ Ws}$  と  $13 \text{ Ws}$  との後者の方が約 1.5 倍大きい。

2. 破壊時の最大応力に対する率(この値を Compressibility  $E_c$  と定義する)の大きさは、コンクリートの種類や骨材によつて破壊時内に荷重を下げる一 定値とよつて、その大きさはコンクリートで  $19.1 \sim 28.1 \times 10^{-4}$  モルタルで  $26.2 \sim 38.2 \times 10^{-4}$  であり食配合に於て程小さく、且材令の増加と共に増大している。これらがコンクリートの破壊強度に影響した立場から考へることにより、従来と異つたものでなければならぬことか示唆される。

3. 応力一荷重線は食配合による程曲り、モルタルの場合には特に著しい。又それらはすべて破壊時間小なる程直角的となり粒径の著しいことを示す。Compressibility  $E_c$  の  $0.25$ 、 $0.50$ 、 $0.75$ 、 $1.00$  の各々の値に於て Secant Modulus  $E_s$  を取ると、 $100 \text{ sec}$  破壊を 1 とするれば、 $1 \text{ sec}$  破壊の場合は夫々  $15 \sim 25\%$  増し  $0.03 \text{ sec}$  破壊の場合は  $20 \sim 50\%$  増じとなる。増加の割合は食配合程大きく、且  $0.25 E_c$  に対する  $E_s$  より  $E_c$  に対する  $E_s$  に至る程大ずの傾向にある。

4. この資料からコンクリート素材のレオロジー的解析を進めることが出来る。破壊に到るまでの挙動と模型を表すことは非線形性を導入する必要があり、又  $\sigma$  のようす構造物には引張強度の限界附近まで考へれば、破壊の状況をある程度まで解析出来ると言え、今から問題を簡易化して Kelvin 模型を Spring を直結した 3要素模型を考え、これを  $0.25 E_c$  に於て Secant Modulus の値  $E_s$ 、 $0.25 E_c$  と  $\tilde{\sigma}_u$ 、 $E_c$  の値を用い、 $\sigma = Kt$  なる時間に比例して作用応力を加え、荷重を求め、常数値を計算する。

これらの値から地震荷重として考慮した  $0.1 \text{ sec} \sim 4 \text{ sec}$  程の周期とつ動荷重に対する動的強度の変化の状況と知ることが出来る。又コンクリート構造物の振動方程式に用いるべき粘弹性係数を知ることが出来る。

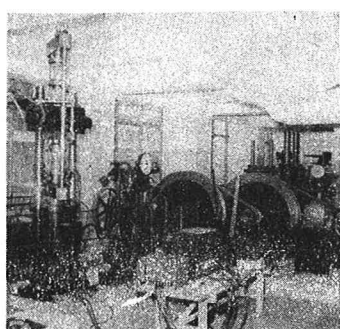
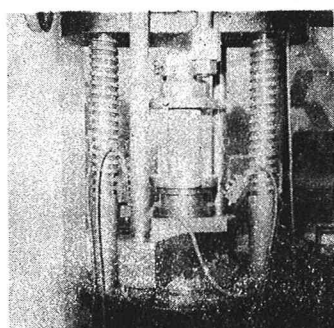


Photo 1



(見)